

بررسی اثرات ناهنجاری زایی جنتامايسین بر روی سیستم اسکلتال جنین رت

دکتر حسن مرزبان، استادیار گروه آناتومی، دانشکده پزشکی، دانشگاه علوم پزشکی تهران

دکتر محمد اکبری، استادیار گروه آناتومی، دانشکده پزشکی، دانشگاه علوم پزشکی تهران

مهندش توپک، استادیار گروه آناتومی، دانشکده پزشکی، دانشگاه علوم پزشکی تهران

Teratogenic Effects of Gentamicin on Skeletal System of Rat Fetuses

ABSTRACT

Gentamicin was evaluated for developmental toxicity in pregnant Sprague-Dawley rat. Gentamicin was administered subcutaneously on days 6-15 of gestation at dose of 100 mg/kg. On gestation day 21, all live fetuses were examined for external and skeletal malformations and variations. Increased resorptions and dead fetuses, and reduced fetal body weight were observed at dose of 100 mg/kg. Gentamicin caused severe skeletal anomalies, such as: wavy ribs, incomplete ossification of sternebrae, tail vertebra, metacarpus, metatarsus and calvaria. These results indicate the nature and extent of embryotoxicity and teratogenicity of gentamicin in Sprague-Dawley rats.

Key Words: Gentamicin; Embryo; Development; Teratogenicity; Rat.

مقدمه

چکیده

آنستی بیوتیکهای آمینوگلیکوزیدی به طور وسیع در درمان عفونتهای گرم منفی استفاده می‌شوند و بسیار مؤثر و مفید می‌باشند(۱،۲،۳). یکی از عوارض مهم استفاده آمینوگلیکوزیدها ایجاد نفرو-توکسیسیتی می‌باشد(۴،۱). جنتامايسین مانند دیگر آمینوگلیکوزیدها با غشاء سلولی باند شده و سپس در داخل لیزوژومهای سلولهای لوله پروگزیمال کلیه به وسیله پیتوسیتوزیس تجمع پیدا می‌کند(۵). از شکستن و تخریب داخل لیزوژومی فسفولیپیدها جلوگیری به عمل آورده و منجر به فسفولیپیدوزیس می‌گردد(۶). محققان گزارش کرده‌اند که جنتامايسین از عمل فسفولیپاز سلولی جلوگیری به عمل آورده(۷) و فعالیت ATPase را مهار می‌کند و همچنین پروسه‌های بیولوژیکی که وابسته به cAMP باشد را نیز می‌تواند مهار کند(۸). در بررسی اثرات ناهنجاری زایی جنتامايسین بر روی جنین رت در محیط کشت روشن شد که نسبت مرگ و میر و آنومالیهای کلیوی افزایش می‌یابد(۹). در این مطالعه ما سعی کردیم اثرات جنتامايسین را بر روی سیستم اسکلتال جنین رت بررسی کنیم.

سمیت جنتامايسین در رشد و نمو در رت باردار نژاد Sprague-Dawley که به صورت زیر جلدی در روزهای ۱۵-۶ بعد از لفاح با دوز ۱۰۰ mg/kg تجویز گردید، بررسی شد. در روز ۲۱ بارداری، تمام جنینهای زنده از نظر آنومالیهای ظاهری و اسکلتی بررسی شدند. افزایش جنینهای بازجذبی و مرده و کاهش وزن طبیعی از یافته‌های این بررسی بود. جنتامايسین همچنین باعث ایجاد آنومالیهای شدید اسکلتی مانند دنده موج دار، مراکز استخوان‌سازی ناکامل در استرنوم، مهره‌های دمی، متاکارپ، متاتارس و کاسه سر نیز گردید. این نتایج نشان‌دهنده طیف و وسعت امپریوتوكسیسیتی و ناهنجاری زائی جنتامايسین در رت نژاد Sprague-Dawley می‌باشد.

کلمات کلیدی: جنتامايسین؛ جنین؛ تکامل؛ تراطورزیستی؛ رت

روز ۲۱ بارداری، پس از بیهوشی با دی اتیل اتر و سزارین، جنینها را از لوله رحمی خارج نموده و از نظر تعداد جنینهای زنده، مرده و بازجذبی بررسی شدند. جهت محاسبه امبریوتوکسیسیتی از فرمول:

$$\text{ETSI} = \frac{\text{تعداد جنینهای مرده} + \text{تعداد جنینهای بازجذبی}}{\text{تعداد کل جنینها}} \times 100$$

(Embryotoxicity score) استفاده شد.

وزن، طول سری - سرینی (Crown-Rump Length) و قطر طرفی سر (Biparietal Diameter) اندازه گیری شد. سپس جهت رنگ آمیزی با الیزارین رد S، با استفاده از متod Whitaker (۱۱) در الكل ۹۵٪ فیکس و بعد شفاف گردیدند. جهت بررسی شکل ظاهری و سیستم اسکلتی تمام جنینها از استریومیکروسکوپ Nikon مدل SMZ-2T استفاده شد.

تجزیه و تحلیل آماری اطلاعات به دست آمده با استفاده از نرم افزار SPSS و تست آماری آنالیز واریانس انجام شد.

یافته ها

نتایج به دست آمده نشان می دهد که هیچ اختلاف معنی داری بین گروه شاهد و گروه سرم فیزیولوژی وجود ندارد. جنتامايسین با دوز ۱۰۰ mg/kg بر روی رشد و تکامل جنین رت اثر گذاشت و از نظر امبریوتوکسیسیتی باعث افزایش تعداد جنینهای بازجذبی و مرده می شود (جدول ۱).

روش و مواد

نمونه: ۳۶ سر موش صحرایی (رت) وزن (۱۷۵-۲۰۰g) از انسیتو رازی حصارک خریداری شد. جهت تطابق با محیط جدید به مدت دو هفته در قفسهای مخصوص نگهداری موش قرار گرفته و اجازه داده شد که به هر میزان که می توانند آب و غذا بخورند (غذای آماده و استاندارد از شرکت دام پارس تهیه شد) درجه حرارت و رطوبت حیوانخانه به ترتیب $22-26^{\circ}\text{C}$ و ۴۵-۵۵٪، سیکل روشنایی تاریکی ۱۲/۱۲ ساعت در نظر گرفته شد. بعد از دو هفته، دو سر موش ماده با یک سر موش نر به مدت یک شب در داخل یک قفس نگهداری شدند تا عمل جفت گیری انجام شود و برای تأیید جفت گیری از مشاهده واژینال پلاک یا تهیه واژینال اسمیر استفاده شد، که در صورت مثبت بودن، روز ۱ بارداری در نظر گرفته شد. رت های باردار به صورت راندوم در سه گروه شاهد (۱۲ سر)، سرم فیزیولوژی (۱۲ سر) و تست (۱۲ سر) قرار گرفتند.

مواد: جنتامايسین از شرکت Schering (Germany) خریداری شد.

از روزهای ۶ تا ۱۵ بارداری جنتامايسین به صورت تزریق زیرجلدی با دوز ۱۰۰ mg/kg (۱۰) به گروه تست تجویز شد. به گروه سرم فیزیولوژی حجم مناسبی از سرم فیزیولوژی به صورت زیرجلدی تزریق شد و به گروه شاهد تزریقی صورت نگرفت. در

جدول ۱- پارامترهای امبریوتوکسیسیتی برای موش های صحرایی که جنتامايسین به صورت تزریق زیرجلدی در روزهای ۶-۱۵ بارداری دریافت کرده و

در روز ۲۱ کشته شدند

پارامتر	گروه شاهد (۱۲ سر)	گروه سرم فیزیولوژی (۱۲ سر)	گروه شاهد (۱۲ سر)	گروه تست (۱۲ سر)
تعداد جنینهای کاشته شده	۱۵۶	۱۵۶	۱۵۶	۱۴۷
۱- جنینهای بازجذبی	۰/۶۵	۰/۰۰	۰/۰۰	۸/۱۶ ^a
درصد جنینهای تحت تأثیر واقع شده	۸/۳۰	۰/۰۰	۰/۰۰	۵۰/۰۰ ^b
۲- تعداد جنینهای مرده	۰/۰۰	۰/۰۰	۰/۰۰	۱۰/۰۰
درصد جنینهای تحت تأثیر واقع شده	۰/۰۰	۰/۰۰	۰/۰۰	۷/۸۰ ^c
درصد موشیان باردار تحت تأثیر واقع شده	۰/۰۰	۰/۰۰	۰/۰۰	۴۱/۶۶ ^d
۳- تعداد جنینهای زنده	۱۵۶	۱۵۶	۱۵۶	۱۲۵
درصد محاسبه امبریوتوکسیسیتی (%) (ETS)	۰/۶۴	۰/۰۰	۰/۰۰	۱۴/۹۶ ^e
درصد جنینها با ناهنجاری های ظاهری	۰/۶۵	۰/۰۰	۰/۰۰	۰/۶۸

^{a, b, c, d, e} اختلاف معنی دار با گروه شاهد نشان می دهد و در تمام موارد ($P < 0.05$) می باشد.

طرفی سر (BPD) و وزن (W) نشان داد که اختلاف معنی دار بین گروه شاهد و تست وجود دارد و جنبهای در گروه تست نسبت به گروه شاهد از جمله بسیار کوچکی برخوردار بودند (جدول ۲ و تصویر ۱).

جدول ۲- اختلاف معنی دار میانگین : طول سری - سرینی و طرف سر بر حسب میلیمتر و وزن جنبهای بر حسب گرم می باشد

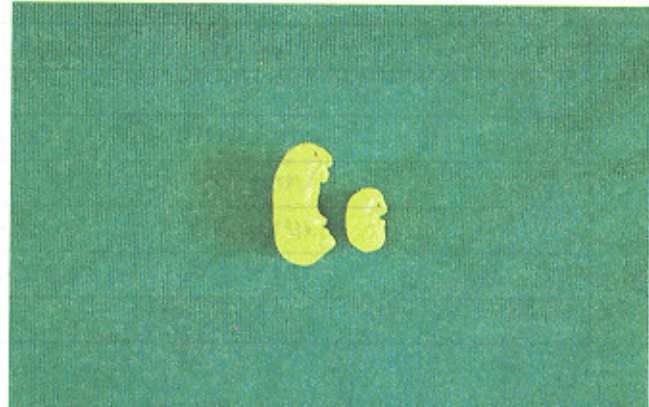
پارامتر	گروه شاهد	گروه سرم فیزیولوژی	گروه تست
طول سری - سرینی (CRL)	۲۰/۸۸ ± ۰/۳۳	۲۹/۰۱ ± ۰/۱۷	۲۰/۲۰ ± ۰/۵۲ ^a
طول طرف سر (BPD)	۸/۰۶ ± ۰/۷۳	۸/۰ ± ۰/۲۶	۶/۸۱ ± ۰/۹۳ ^b
وزن جنبهای (W)	۳/۰۵ ± ۰/۶۳	۳/۱۱ ± ۰/۴۲	۱/۷۷ ± ۰/۹۱ ^c

موارد c, b, a اختلاف معنی دار با گروه شاهد نشان می دهد و در تمام موارد ($P < 0.05$) می باشد.

شکل ۱- a- جنبهای گروه کنترل -b- جنبهای گروه تست که تحت تأثیر جنتامایسین به صورت تزریق با دوز ۱۰۰ mg/kg در روزهای ۶-۱۵ بعد از لقاح قرار گرفته است.

پارامترهای انتخاب شده جهت بررسی سیستم اسکلتی در جدول ۳ خلاصه شده است.

در بعضی از پارامترها مانند دندوهای جوش خورده هیچ اختلافی وجود نداشت اما مراکز استخوان سازی در گروه تست به شدت تحت تأثیر واقع شده و از رشد کمتری برخوردار بوده است (تصویر ۳،۲ و ۴).

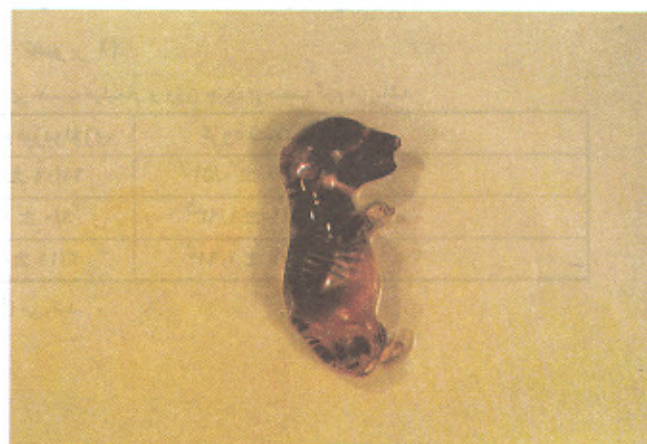
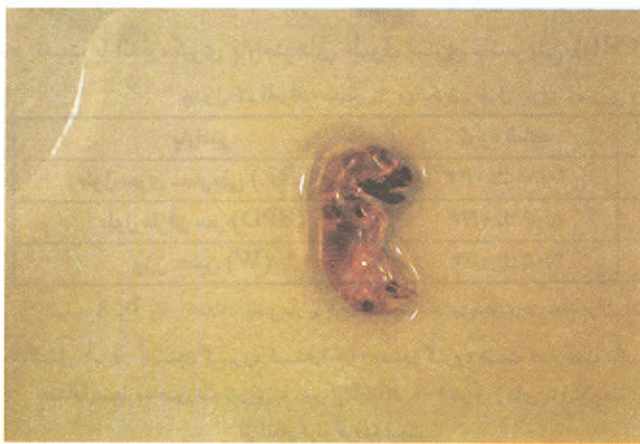


جدول ۳- بررسی پارامترهای استخوانی با استفاده از تکنیک clearing و نگ آمیزی با الیازارین رد S

پارامتر	گروه شاهد	گروه سرم فیزیولوژی	تست
درصد آنومالیهای دندوهای دنده موج دار	.	.	۸۱/۲۵ ^a
فقان قسمتی از دنده دندوهای اضافی	.	.	۳۱/۲۵ ^b
دندوهای جوش خورده	.	.	.
درصد فقان مرکز استخوان سازی در هفتمنی مهره گردان	۵	۸	۱۰۰ ^c
درصد فقان مرکز استخوان سازی استخوان هیوند (لامی)	.	.	%۷۵ ^d
پوبیس	.	.	%۷۵ ^e
اپسکیوم	.	.	%۵ ^f
اپلیوم	.	.	۶/۲۵
استخوان ران (فمور)	.	.	%۳۱/۲۵ ^g
در نیمی از مهره	.	.	%۲۵ ^h
درصد فقان مرکز استخوان سازی در جمجمه کاسه سر	.	.	%۱۲/۵ ⁱ
بخش صدقی استخوان اکسی پیتال	.	.	%۶۲/۵ ^j
پارپیتال	.	.	%۱۲/۵ ^k
فروپتال	.	.	%۲۵ ^l

تشکیل مراکز استخوان سازی در گروه تست به شدت تحت تأثیر واقع شده است و مواردی که دارای اختلاف معنی دار می باشد با حروف لاتین نشان داده شده در تمام موارد اختلاف معنی دار ($P < 0.05$) می باشد.

شکل ۲ و ۳- جنین گروه تست بعد از clearing با استفاده از الیزارین رد S رنگ آمیزی شده دندنهای موج دار بوده و مراکز استخوان سازی در اسکلت ناحیه سر، مهره ها، دندنهای اندامها به شدت تأثیر پذیرفته و نسبت به گروه شاهد از مراکز استخوان سازی شکل نگرفته یا از تراکم بسیار کمی برخوردار است.



پارامتر	گروه شاهد	گروه سرم فیزیولوژی	گروه تست
مبانگ بن مراکز استخوان سازی			
استرنوم	۵/۰۷ ± ۰/۲۱	۵/۲ ± ۰/۱۸	۰/۴۳ ± ۰/۱۶
مهره های دمی	۶/۱۰ ± ۰/۲۰	۶/۴ ± ۰/۲۲	۰/۹۳ ± ۰/۶۱
متاکارپ (یک اندام)	۲/۱ ± ۰/۱۸	۲/۱ ± ۰/۱۰	۰/۶۲ ± ۰/۱۰
متاتارس (یک اندام)	۲/۷ ± ۰/۱۲	۲/۶ ± ۰/۱۲	۰/۵۶ ± ۰/۱۷
ناهنجاری استخوان اولنما و رادیوس	۰	۰	٪ ۶/۲۵

یافته های Skosyreva باعث اختلالات شدید در سیستم اسکلتی همراه با تأخیر رشد در تشکیل مراکز استخوان سازی می باشد (۹). مواد تراوتوزنیک ممکن است با عبور از جفت به طور مستقیم بر روی جنین اثر اعمال کنند و یا بطور غیرمستقیم با ایجاد سمیت در مادر بر روی جنین اثر گذارند (۱۳، ۱۲) و از آنجایی که جنتامايسین از طریق پینوسیتوz وارد سلول می شود (۵) اثرات توکسیک آن به طور مستقیم بر روی حلزون گوش نیز روشن شده است (۱۵، ۱۴). لذا جنتامايسین به طور مستقیم بر روی جنین اثر تأثیر می گذارد. تکامل سیستم اسکلتی همانند دیگر سیستم های در حال تکامل متأثر از واکنش متقابل سلول و سلول، سلول و ماتریکس و ... می باشد که این پیامها از طریق رسپتورها و cAMP فعالیت سلولها را جهت تکثیر و تمایز کنترل می کنند (۱۶) و از آنجایی که جنتامايسین فعالیت cAMP را می تواند مهار کند (۸)، لذا گویای این واقعیت است که باعث تأخیر در تمایز سلولهای مزانشیمال در روند استئوژنزیس می شود. با توجه به نتایج این تحقیق روشن است که اختلال در استخوان سازی داخل غشاء بیشتر از اختلال در استخوان سازی داخل غضروفی است و مؤید آن است که سلولهای مزانشیمال در تمایز مستقیم به سلولهای استئوبلاست آسیب پذیرترند. نتایج این بررسی نشان می دهد که تجویز زیرجلدی جنتامايسین در طی ارگانوژن اثرات واضحی در ایجاد دفرمیتی استخوان، تأخیر در استخوان سازی و رشد طبیعی جنین رت دارد.

شکل ۴- جنین گروه شاهد بعد از Clearing با استفاده از الیزارین، رد S رنگ آمیزی شده ساختان اسکلتی طبیعی بوده و مراکز استخوان سازی در استخوانهای مختلف به وضوح قابل تشخیص



بحث

در این مطالعه اثرات تجویز زیرجلدی جنتامايسین با دوز mg/kg ۱۰۰ در روزهای ۱۵-۱۶ بعد از لقاح بر روی جنین رت بررسی گردیده است و نشان داده شد که جنتامايسین در تکامل جنین رت اثر تراوتوزنیک دارد چنانکه تعداد جنینهای باز جذبی و مرده افزایش یافته و وزن جنینها (فتو توکسیسیتی) به شدت کاهش می یابد و همچنین باعث تأخیر رشد جنین نیز می گردد که علاوه بر تأیید

منابع

- 1- Kroen G, Klein J, Macleod SM: The dissociation between aminoglycoside serum concentrations and nephrotoxicity. Life sciences. 43: 18187-1823, 1988.
- 2- Sande MA, Mandell GL: Antimicrobial agents: the aminoglycosides. in "The pharmacological basis of therapeutics". Macmillan, New York, 1985, pp: 1150-1169.
- 3- Smith CR, Lipsky JJ: Double - blind Comparison of the nephrotoxicity and auditory toxicity of gentamicin and tobramycin. N. Engl. J. Me. 302: 1106-1109, 1980.
- 4- Garrison MW, Rotschafer JC: Clinical assessment of a published model to Predict aminoglycoside induced nephrotoxicity. Ther. Drug Monit. 11: 171-175, 1989.
- 5- Kojima R, Ito M, Suzuki Y: Studies on the nephrotoxicity of aminoglycoside antibiotics and protection from these effect. Jpn. J. Pharmacol. 43: 73-80, 1987.
- 6- Dehpour AR, Ghafourifar P, Ahangari N: Inhibition by lithium and rubidium of gentamicin - induced release of N-acetyl- β - D - glucosaminidase from perfused rat Kidney. toxicology. 110: 9-15, 1996.
- 7- Mingeot-Leclercq MP, Laurent G, Tulkens PM: Biochemical mechanisms of aminoglycoside-induced inhibition of phosphatidylcholine hydrolysis by lysosomal phospholipases. Biochem. Pharmacol. 37: 591-599, 1988.
- 8- Nathalie J, and et al: Potentiation of Gentamicin Nephrotoxicity in the rat by infusion of Aprotinin. Experimental and Molecular Pathology. 60: 197-213, 1994.
- 9- Skosyreva AM: Comparative evaluation of the embryotoxic effect of various antibiotics. Antibio-Khimioter. 34: 779-82, 1986.
- 10- Dehpour AR, Ghafourifar P, Ahangari N: Inhibition by lithium and rubidium of gentamicin - induced release of N - acetyl - B - D - glucosaminidase from perfused rat kidney. toxicology. 110: 9-15, 1996.
- 11- Whitaker J, Dix KM: Double staining technique for rat of et foetal skeletons in teratological studies. Lab Anim. Sci. 13: 309-12, 1979.
- 12- Tyl RW, Price CJ, Marr MC, Kimmel CA: Developmental toxicity evaluation of dietary di (2-ethylhexyl) Phthalate in Fischer 344 rats and CD-1 mice . Fundam. Appl. Toxicol. 10: 395-412, 1988.
- 13- Varma DR, Guest I, Smith S, Mulay S: Dissociation between maternal and Fetal toxicity of methyl isocyanate in mice and rats. J. toxicol. Environ. Health. 30: 1-140, 1990.
- 14- Fikes JD, Kender JA, Reed WM: Distribution of gentamicin to the cochlea of the chicken embryo. Toxicol - pathol. 22: 15-22, 1994.
- 15- Bhave SA, Stone JS, Rubel EW, Coltrera MD: Cell Cycle progression in gentamicin - damaged avian cochleas. J - Neurosci. 15: 4618-28, 1995.
- 16- Gurdon JB: Embryonic induction - molecular prospects. Development. 99: 285-306, 1987.